



第3章 控制系统的扰动分析(2)

——2023年春季学期

授课教师：马 杰（控制与仿真中心）

霍 鑫（控制与仿真中心）

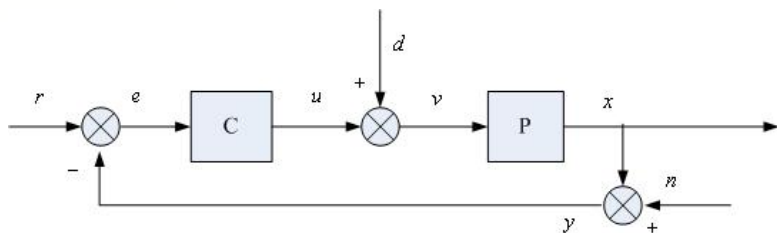
马克茂（控制与仿真中心）

陈松林（控制与仿真中心）



扰动与噪声的区别** 扰动=干扰-噪声-系统摄动

- **作用点不同**，扰动一般作用于系统的输入侧和输出侧，而噪声多是在信号采集、传输和处理等环节中引入，尤其是测量环节；
- **作用机理不同**，扰动一般直接作用于被控对象，使被控量发生改变，而噪声一般通过混入有用信号中间接地影响被控量；
- **特性不同**，扰动信号多数是可以测量或估计的，频带较窄，而噪声一般为随机信号，频谱范围很宽；
- **抑制方法不同**，控制上，噪声一般只能通过降低系统等效噪声带宽来抑制，但会影响系统的跟踪性能，而扰动的抑制方法则很多；



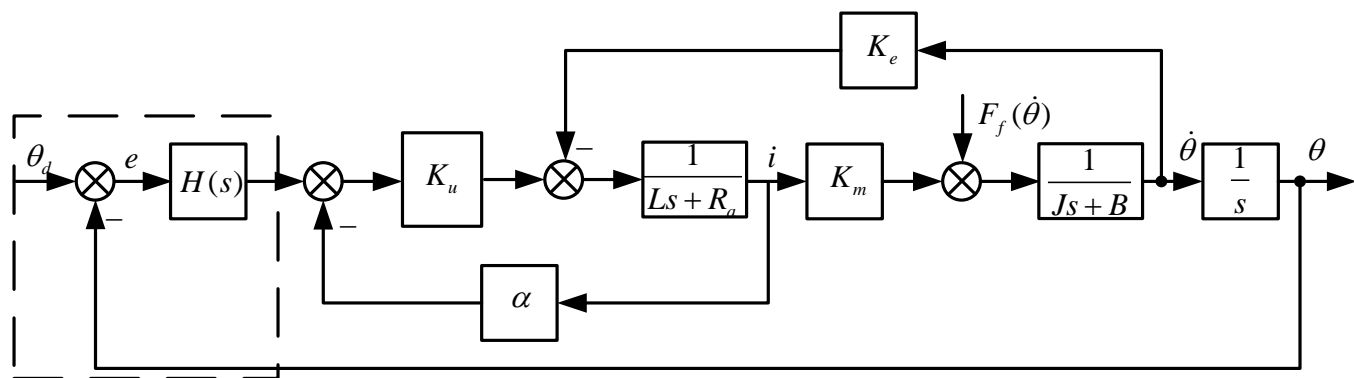
$$G_{xd} = \frac{P}{1 + PC} \quad G_{xn} = \frac{-PC}{1 + PC}$$



回顾篇

干扰分析的内容与目的

- 扰动作用机理分析（作用点，扰动建模，推导传递函数）
- 扰动的定性分析（随机还是确定的，确定补偿方式或抑制方法）
- 扰动的定量分析（幅值、频谱等，指导选型，确定带宽）



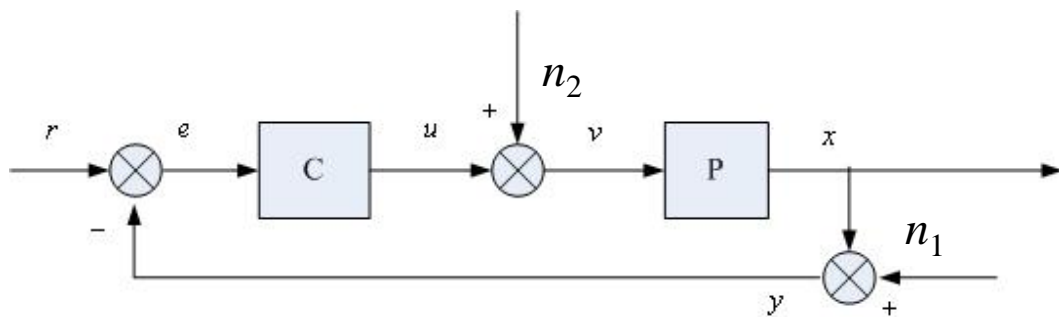
➤ 指导元部件选型

➤ 根据扰动的特点，确定抑制扰动的控制方法



噪声的分类

反馈通道上的噪声和前向通道上的噪声对比



- 反馈通道上的量测噪声和前向通道上的噪声**传递函数不同**；
- **抑制方法不同**，前向通道上的噪声抑制方法同输入端扰动的抑制方法，对于反馈通道上的量测噪声，只能通过降低等效噪声带宽的方法进行抑制；



提升篇

如何在作业中收获更多

- **预期**：仿真的目的是加深课程内容的理解，预期的仿真结果要和课程中给出的结论相一致；
- **分析**：仿真结果是否与理论相符，不相符的要尽量找出原因，并想办法解决，至少要能给出合理解释；
- **调整**：调整控制器参数，输入信号的形式（幅值，频率），仿真软件参数设置（周期、数值算法），都会影响仿真结果；
- **拓展**：多做一些拓展研究，改变一下仿真条件，换个对象，换一种方法，尝试发现一些规律；



拓展篇

概念墙

开环与闭环

时域与频域

信号与系统

时间与空间

功能与性能

驱动与测量

可控与可观

理论与实践

仿真与实验

误差与偏差

静态与动态

暂态与稳态

扰动与噪声

反馈与前馈

增益与型别

鲁棒与适应

主动与被动

事先与事后

解析与数值

连续与离散

微分与差分

积分与求和

均值与方差

幅值与相位

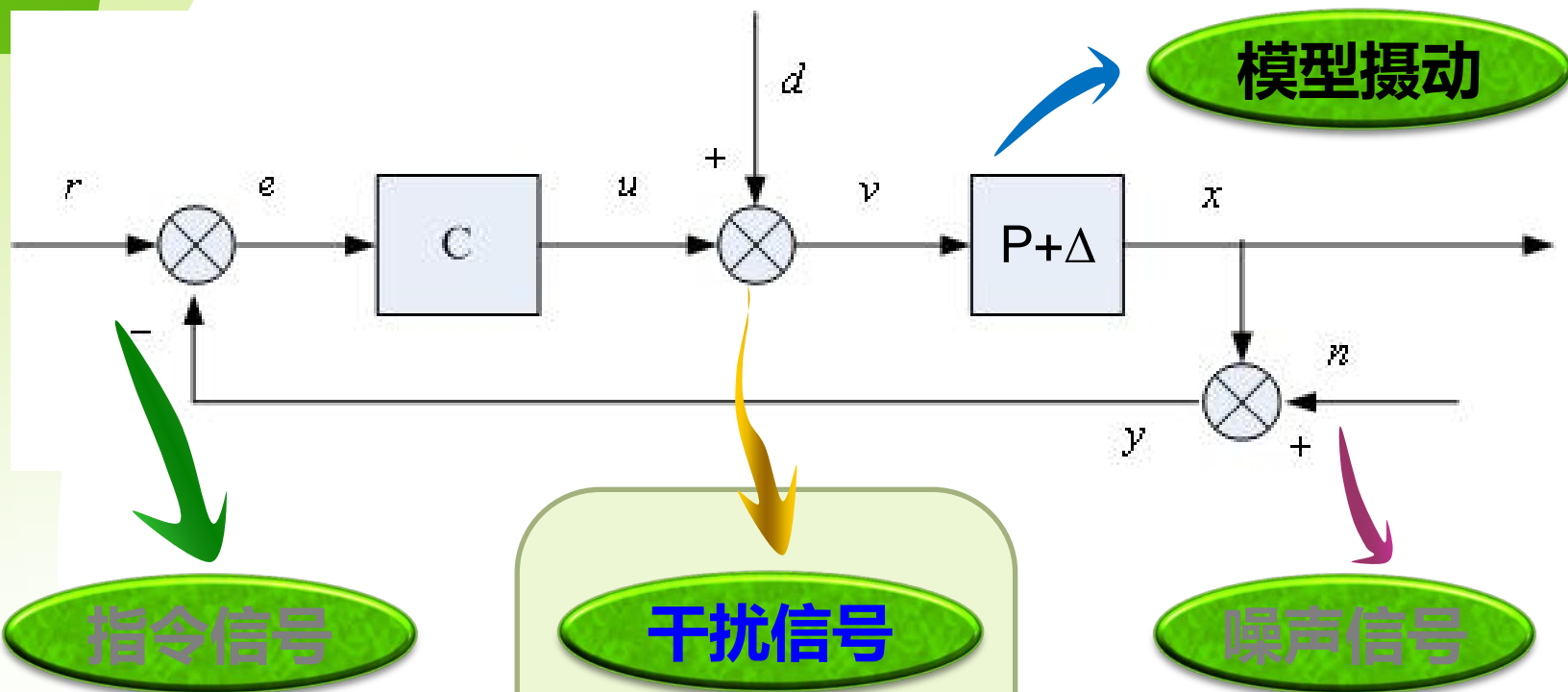
结构与参数

超前与迟后

直接与间接



抬头看路



$$G_{xr} = \frac{PC}{1 + PC}$$

$$G_{xd} = \frac{P}{1 + PC}$$

$$G_{xn} = \frac{-PC}{1 + PC}$$



学习目标

本节课需要掌握的内容

- 掌握典型扰动下，系统的误差响应；
- 掌握抑制扰动的一般性原则和方法；
- 掌握几种特殊扰动的抑制方法；



3.3 扰动分析

3.3.1 扰动分析

3.3.2 扰动响应与误差分析

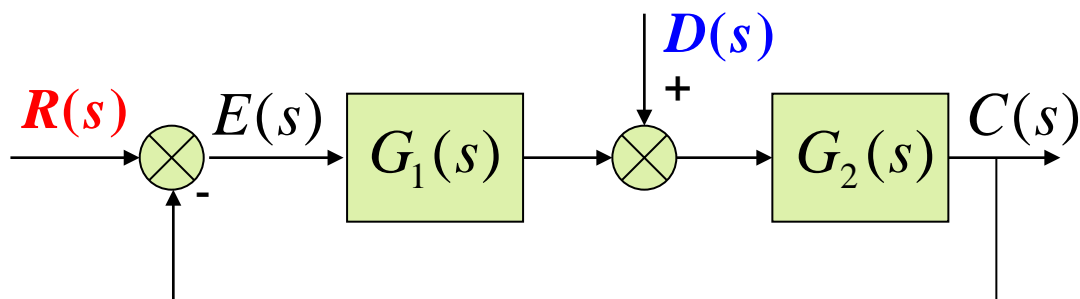
3.3.3 其他扰动抑制方法

3.3.4 扰动观测与补偿



3.3.2 扰动响应与误差分析

扰动响应定义 | 扰动误差分析 | 例子 | 总结



扰动响应定义： 系统输出 $C(s)$ 对扰动 $D(s)$ 的响应

$$T(s) = \frac{G_2(s)}{1 + G_1(s)G_2(s)}$$

理想的扰动响应： $T(s)=0$

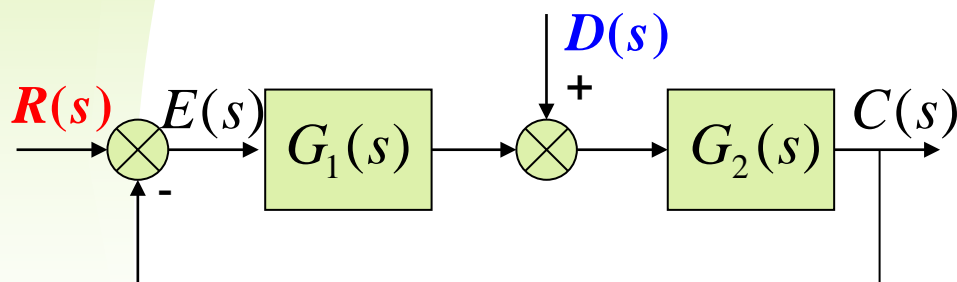


3.3.2 扰动响应与误差分析

扰动响应定义 | 扰动误差分析 | 例子 | 总结

通常，给定输入作用产生的误差为系统的**给定误差**，扰动作用产生的误差为**扰动误差**。

$R(s) = 0, D(s) \neq 0$ 时产生的 $-C(s)$ 称为扰动误差（偏差和误差等价）



$$\frac{C(s)}{D(s)} = \frac{G_2}{1 + G_1 G_2}$$

$$C(s) = \frac{G_2 D(s)}{1 + G_1 G_2}$$

$$E(s) = -C(s) = -\frac{G_2}{1 + G_1 G_2} D(s)$$

$$\therefore e_{ssd} = \lim_{t \rightarrow \infty} e(t) = \lim_{s \rightarrow 0} s E(s) = -\lim_{s \rightarrow 0} s \cdot \frac{G_2}{1 + G_1 G_2} D(s)$$



3.3.2 扰动响应与误差分析

扰动响应定义 | **扰动误差分析** | 例子 | 总结

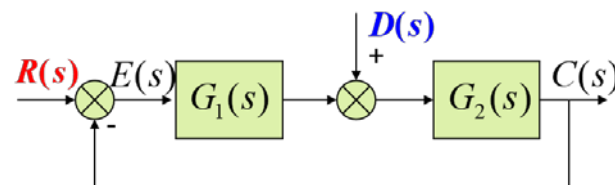
可见, e_{ssd} 不仅与 $G_2(s)$, $D(s)$ 有关, 还与 $G_1(s)$ 有关 (**扰动点到偏差之间的那部分通道传递函数**)

$$\therefore e_{ssd} = -\lim_{s \rightarrow 0} s \cdot \frac{G_2}{1 + G_1 G_2} D(s)$$

$$= -\lim_{s \rightarrow 0} \frac{sD(s)}{G_1} \cdot \frac{G_1 G_2}{1 + G_1 G_2} = -\lim_{s \rightarrow 0} \frac{sD(s)}{G_1} \cdot \frac{G_k}{1 + G_k}$$

$$G_k(s) = \frac{K}{s^\nu} \cdot \frac{\prod_{i=1}^{m_1} (\tau_i^2 s + 1) \prod_{k=1}^{m_2} (\tau_k^2 s^2 + 2\zeta_k \tau_k s + 1)}{\prod_{j=1}^{n_1} (T_j^2 s + 1) \prod_{l=1}^{n_2} (T_l^2 s^2 + 2\zeta_l T_l s + 1)} = \frac{K}{s^\nu} \cdot G_0(s)$$

式中: $G_k = G_1 G_2$, $G_0(0) = 1$, $m_1 + 2m_2 = m$, $\nu + n_1 + 2n_2 = n$





3.3.2 扰动响应与误差分析

扰动响应定义 | **扰动误差分析** | 例子 | 总结

$$e_{ssd} = -\lim_{s \rightarrow 0} \frac{sD(s)}{G_1} \cdot \frac{G_k}{1+G_k}$$

$$G_k(s) = \frac{K}{s^\nu} \cdot G_0(s)$$

$$\therefore e_{ssd} = -\lim_{s \rightarrow 0} \frac{sD(s)}{\mathbf{G_1}} \cdot \frac{\frac{K}{s^\nu} G_0}{1 + \frac{K}{s^\nu} G_0} = -\lim_{s \rightarrow 0} \frac{sD(s)}{\mathbf{G_1}} \cdot \frac{K}{s^\nu + K}$$

1 当 $\nu = 0$ ，即开环传递函数中无积分环节，同时假设 $G_2(s)$ **无纯微分环节**，因此 $G_1(s)$ 中也**无积分环节**（假设也无纯微分环节）。

$$e_{ssd} = -\lim_{s \rightarrow 0} \frac{sD(s)}{\mathbf{G_1}} \cdot \frac{K}{1+K}$$

此时在**阶跃扰动**输入时是有差系统，设 $\mathbf{G_1(s)} = \mathbf{K_1} G_{10}(s)$, $G_{10}(0) = 1$

$$G_{10}(s) = \frac{\prod_{i=1}^{m_{10}} (\bar{\tau}_j^2 s + 1) \prod_{k=1}^{m_{20}} (\bar{\tau}_k^2 s^2 + 2\bar{\zeta}_k \bar{\tau}_k s + 1)}{\prod_{j=1}^{n_{10}} (\bar{T}_j^2 s + 1) \prod_{l=1}^{n_{20}} (\bar{T}_l^2 s^2 + 2\bar{\zeta}_l \bar{T}_l s + 1)}$$

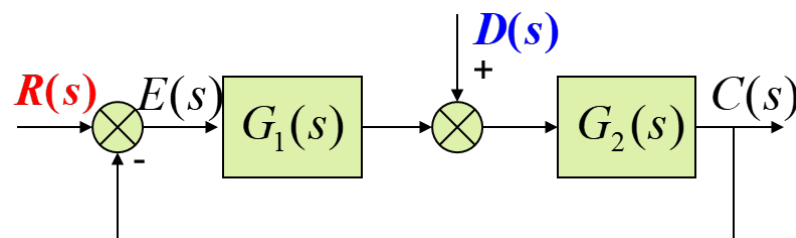
$$e_{ssd} = -\frac{K}{\mathbf{K_1} (1+K)}$$



3.3.2 扰动响应与误差分析

扰动响应定义 | **扰动误差分析** | 例子 | 总结

2 当 $\nu > 0$ ，即开环传递函数中有积分环节，但积分环节可在**不同的地方**。



$$e_{ssd} = -\lim_{s \rightarrow 0} \frac{sD(s)}{\mathbf{G_1}} \cdot \frac{K}{s^\nu + K} = -\lim_{s \rightarrow 0} \frac{sD(s)}{\mathbf{G_1}} \cdot \frac{K}{K} = -\lim_{s \rightarrow 0} \frac{sD(s)}{\mathbf{G_1}}$$

设 $\mathbf{G_1(s)} = \frac{\mathbf{K_1}}{s^u} G_{10}(s)$, $G_{10}(0) = 1$

$$e_{ssd} = -\lim_{s \rightarrow 0} \frac{s^{\mathbf{u+1}} D(s)}{\mathbf{K_1}}$$



3.3.2 扰动响应与误差分析

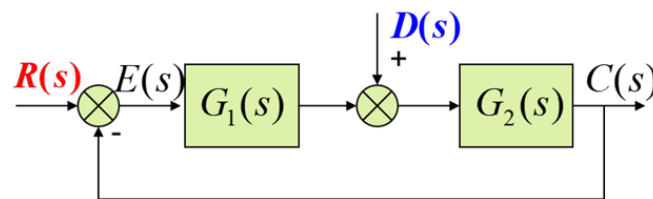
扰动响应定义 | **扰动误差分析*** | 例子 | 总结

$$e_{ssd} = -\lim_{s \rightarrow 0} \frac{s^{u+1} D(s)}{K_1}$$

① 设 $u = 0$ 即 $G_1(s)$ 无积分环节，在阶跃扰动作用下 $e_{ssd} = -\frac{1}{K_1}$ 。虽然开环传递函数有积分环节，在**阶跃扰动**作用下还是有差的。

② 设 $u > 0$ 即 $G_1(s)$ 有积分环节，在阶跃扰动作用下 $e_{ssd} = 0$

若 $u = 1$ ，在**阶跃扰动**作用下是无差的。若 $u = 2$ 在斜坡扰动作用下也是无差的。因此 $G_1(s)$ 环节中的积分环节决定了扰动作用下的无差度。

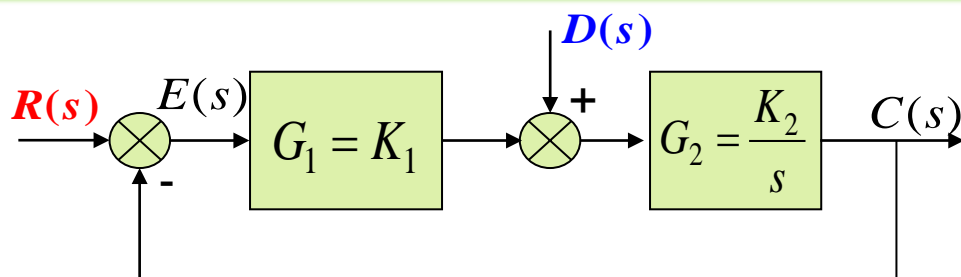




3.3.2 扰动响应与误差分析

扰动响应定义 | 扰动误差分析 | 例子 | 总结

[例1]: 系统结构如右图所示。
当 $r(t) = d(t) = 1(t)$ 时, 求系统的
稳态误差 e_{ss} , 若要求稳态误差
为0, 如何改变系统结构。



解: 该系统为 I 型系统。所以当给定输入 $R(s)$ 为单位阶跃函数时的
稳态误差 $e_{ssr} = 0$

但该系统对于扰动输入 $D(s)$ 为单位阶跃函数时的稳态误差 e_{ssd}
并不等于零。根据前面的分析可知, 稳态误差与 G_1 中的增益和积分
环节的个数有关。此时因 G_1 无积分环节, 所以

$$e_{ssd} = -\frac{1}{K_1} \quad \text{也可这样求} \quad e_{ssd} = \lim_{s \rightarrow 0} s \Phi_{ED} \frac{1}{s} = \lim_{s \rightarrow 0} \frac{-K_2}{s + K_1 K_2} = -\frac{1}{K_1}$$
$$e_{ss} = e_{ssr} + e_{ssd} = -\frac{1}{K_1}$$

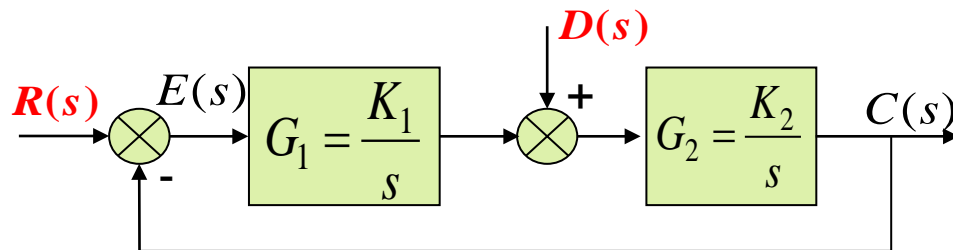


3.3.2 扰动响应与误差分析

扰动响应定义 | 扰动误差分析 | 例子 | 总结

若想使阶跃扰动下稳态误差为0，
则要求 G_1 中有积分环节，令

$$G_1 = K_1 / s$$



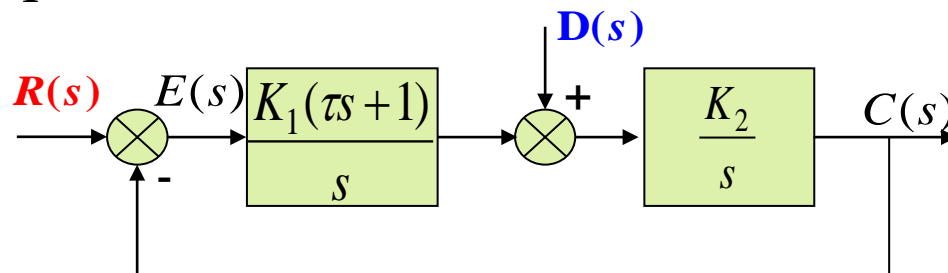
$$\text{此时 } e_{ssd} = \lim_{s \rightarrow 0} s \frac{-K_2/s}{1 + K_1 K_2 / s^2} \frac{1}{s} = \lim_{s \rightarrow 0} \frac{-K_2 s}{s^2 + K_1 K_2} = 0$$

对不对？

由于此时系统的稳定性遭到破坏，直接加一个积分环节是不可行的。
若要使系统稳定，还必须在原 G_1 中引入一个零点

$$G_1 = \frac{K_1(\tau s + 1)}{s}$$

$$\Phi_{ED} = \frac{K_2 s}{s^2 + K_1 K_2 \tau s + K_1 K_2}$$



当 $K_1 > 0$, $K_2 > 0$, $\tau > 0$ 时系统稳定



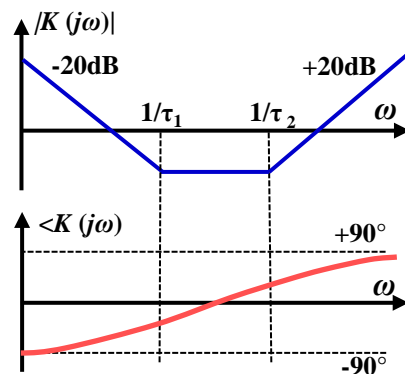
3.3.2 扰动响应与误差分析

扰动响应定义 | 扰动误差分析 | 例子 | 总结

由此可见当用 $G_1 = \frac{K_1(\tau s + 1)}{s}$ 时，才能在保证稳定的前提下使系统在阶跃扰动作用下的稳态误差为零。

$$G_1 = \frac{K_1(\tau s + 1)}{s} = K_1\left(\tau + \frac{1}{s}\right) = K_1\tau + \frac{K_1}{s}$$

这个环节就是PI控制器。



$$G_1 = \frac{K_1(\tau_1 s + 1)(\tau_2 s + 1)}{s} = \frac{K_1 + K_2 s + K_3 s^2}{s} = \frac{K_1}{s} + K_2 + K_3 s$$

这个环节为PID控制器。

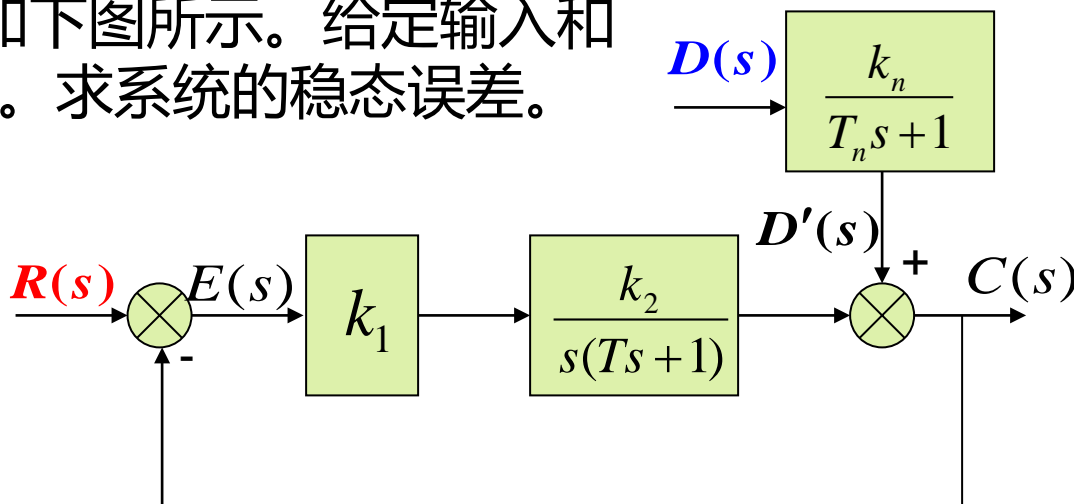
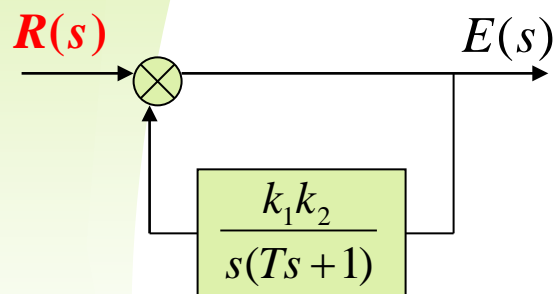
所谓比例+积分(PI)或比例+积分+微分 (PID)控制器的作用就是在**保证闭环系统稳定及动态特性的前提下提高系统的控制精度**。



3.3.2 扰动响应与误差分析

扰动响应定义 | 扰动误差分析 | 例子 | 总结

[例2] 速度控制系统的结构如下图所示。给定输入和扰动作用均为单位斜坡信号。求系统的稳态误差。



[解]:

1 先令 $d(t) = 0$, $r(t) = t$, 即 $R(s) = \frac{1}{s^2}$

$$\Phi_{ER}(s) = \frac{E(s)}{R(s)} = \frac{Ts^2 + s}{Ts^2 + s + k_1k_2}, \quad E(s) = \Phi_{ER}(s) \cdot R(s) = \frac{Ts^2 + s}{Ts^2 + s + k_1k_2} \cdot \frac{1}{s^2}$$

$$e_{ssr} = \lim_{s \rightarrow 0} s \cdot E(s) = \lim_{s \rightarrow 0} \frac{Ts + 1}{Ts^2 + s + k_1k_2} = \frac{1}{k_1k_2}$$

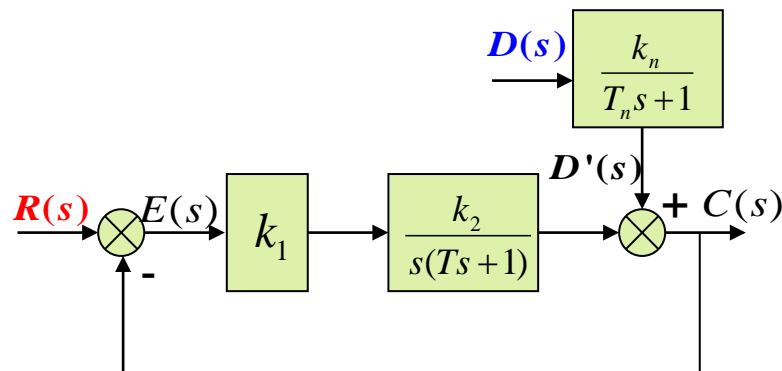


3.3.2 扰动响应与误差分析

扰动响应定义 | 扰动误差分析 | **例子** | 总结

2、再令 $R(s) = 0, D(t) = \frac{1}{s^2}$

$$\frac{C(s)}{D'(s)} = \frac{1}{1 + \frac{k_1 k_2}{s(Ts + 1)}} = \frac{Ts^2 + s}{Ts^2 + s + k_1 k_2}$$



$$C(s) = \frac{Ts^2 + s}{Ts^2 + s + k_1 k_2} \quad D'(s) = \frac{Ts^2 + s}{Ts^2 + s + k_1 k_2} \cdot \frac{k_n}{T_n s + 1} \cdot D(s)$$

$$e_{ssd} = -\lim_{s \rightarrow 0} s \cdot C(s) = -\lim_{s \rightarrow 0} s \cdot \frac{Ts^2 + s}{Ts^2 + s + k_1 k_2} \cdot \frac{k_n}{T_n s + 1} \cdot \frac{1}{s^2} = -\frac{k_n}{k_1 k_2}$$

3、总的稳态误差为:

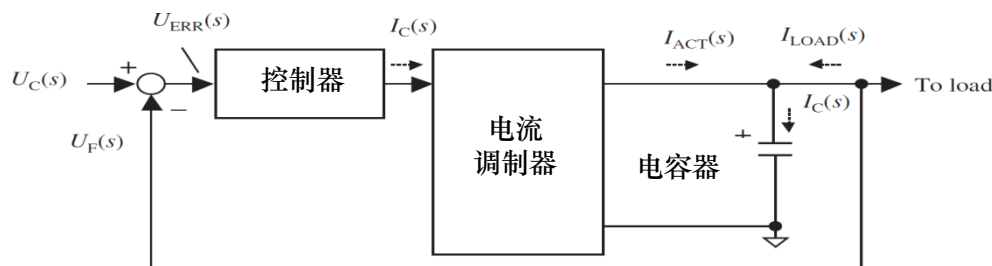
$$e_{ss} = \frac{1}{k_1 k_2} - \frac{k_n}{k_1 k_2} = \frac{1 - k_n}{k_1 k_2}$$



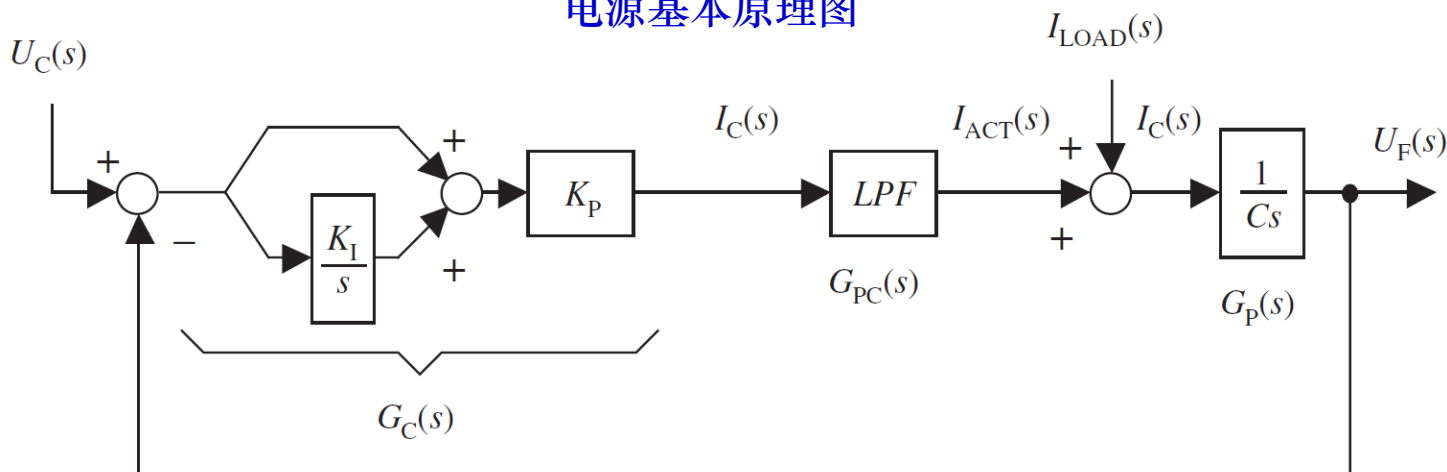
3.3.2 扰动响应与误差分析

扰动响应定义 | 扰动误差分析 | 例子 | 总结

◆ 例3：电源的扰动响应及抑制方法（不考虑扰动的形式）



电源基本原理图



电源控制系统结构框图



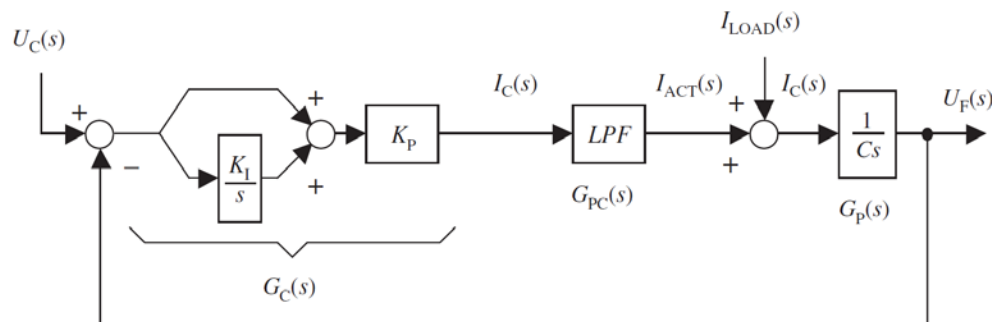
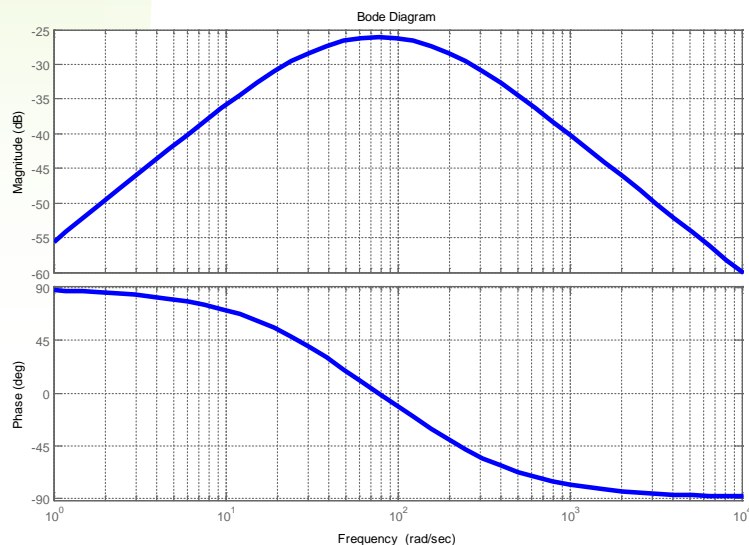
3.3.2 扰动响应与误差分析

扰动响应定义 | 扰动误差分析 | **例子** | 总结

◆ 例3：电源的扰动响应及抑制方法

假定 $G_{pc}(s)=1$ ，负载电流变化带来的扰动响应表示为

$$T(s) = \frac{U_F(s)}{I_{LOAD}(s)} = \frac{\frac{1}{Cs}}{1 + K_p \left(1 + \frac{K_I}{s}\right) \frac{1}{Cs}} = \frac{s}{Cs^2 + K_p s + K_I K_p}$$





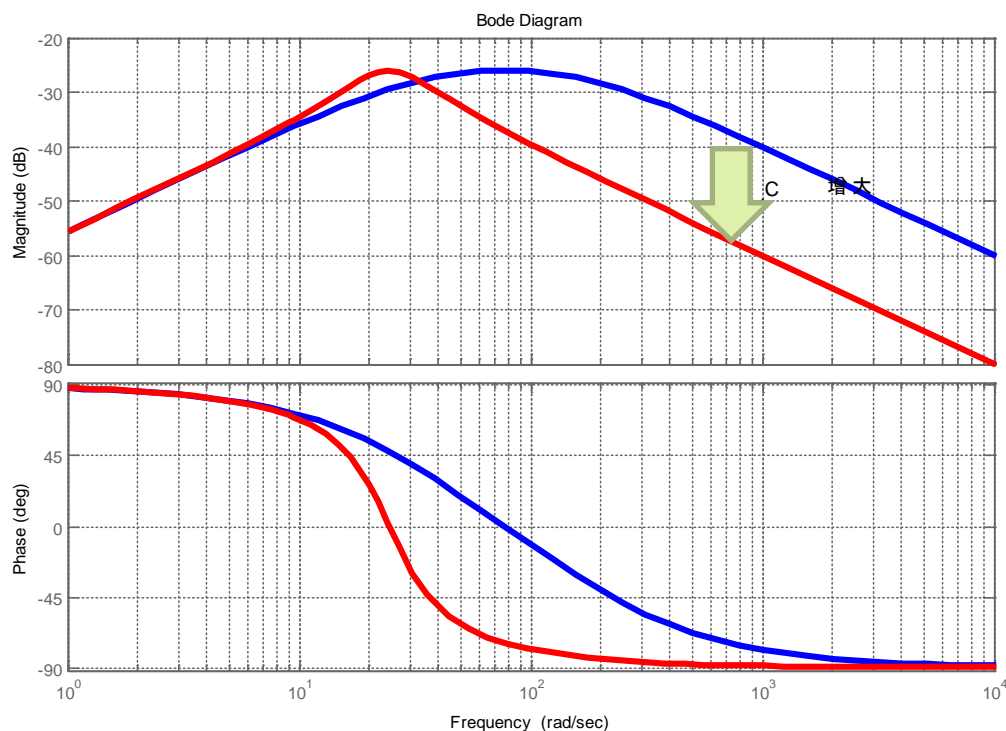
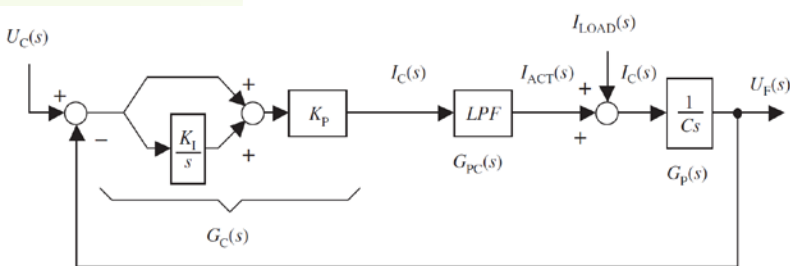
3.3.2 扰动响应与误差分析

扰动响应定义 | 扰动误差分析 | 例子 | 总结

◆ 例3：电源的扰动响应及抑制方法

● 高频段： $T_{\text{高频}}(s) \approx \frac{1}{Cs}$

$$T(s) = \frac{U_F(s)}{I_{LOAD}(s)} = \frac{s}{Cs^2 + K_p s + K_I K_p}$$



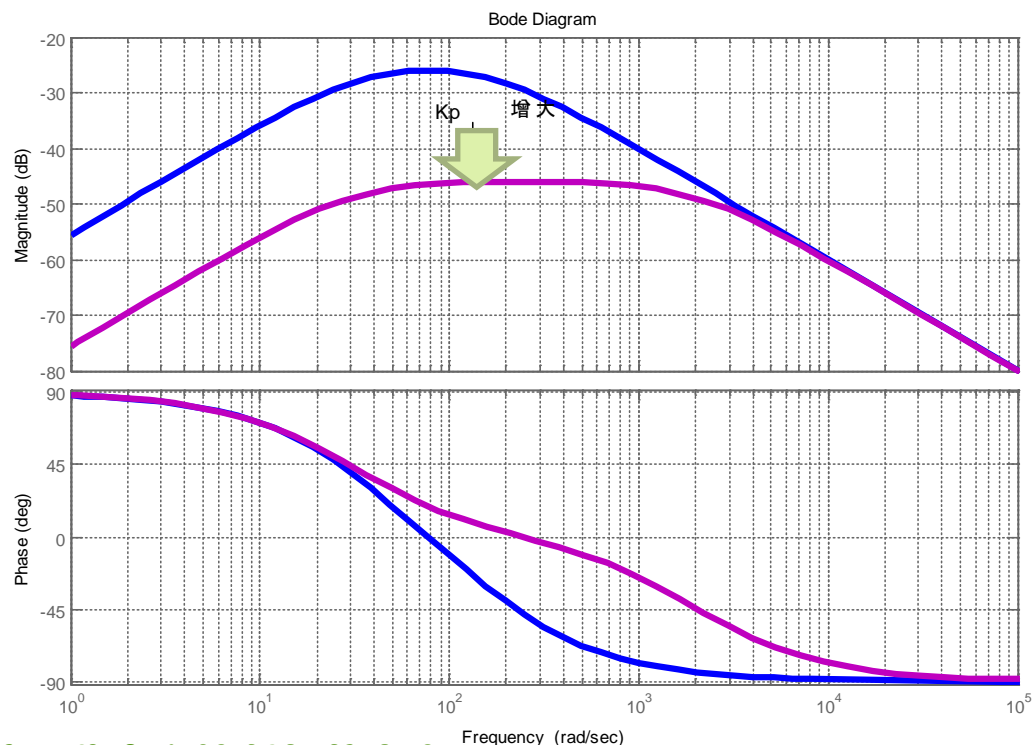


扰动响应定义 | 扰动误差分析 | **例子** | 总结

◆ 例3：电源的扰动响应及抑制方法

- 中频段: $T_{\text{中频}}(s) \approx \frac{1}{K_p}$

$$T(s) = \frac{U_F(s)}{I_{LOAD}(s)} = \frac{s}{Cs^2 + K_p s + K_I K_p}$$





3.3.2 扰动响应与误差分析

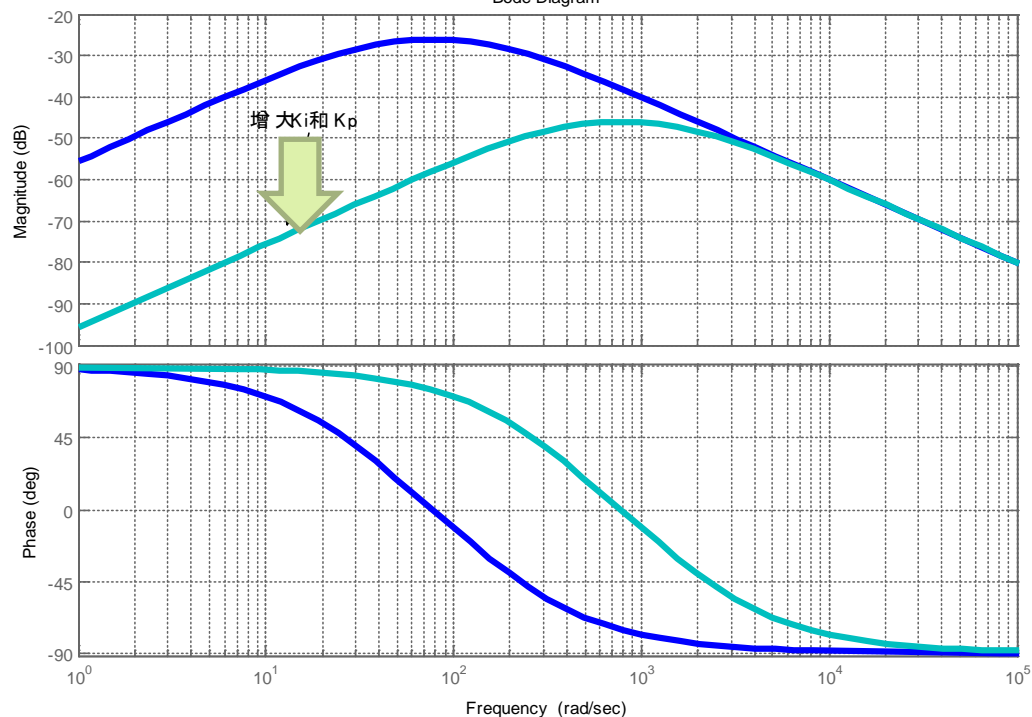
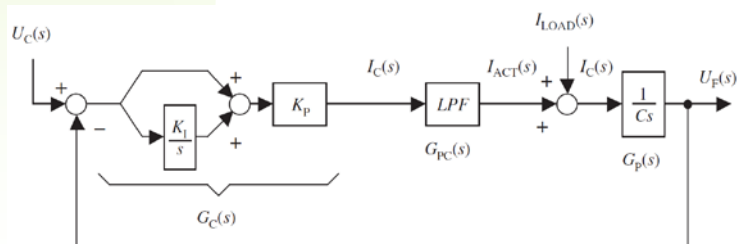
扰动响应定义 | 扰动误差分析 | 例子 | 总结

◆ 例3：电源的扰动响应及抑制方法

● 低频段： $T_{\text{低频}}(s) \approx \frac{s}{K_I K_p}$

$$T(s) = \frac{U_F(s)}{I_{LOAD}(s)} = \frac{s}{Cs^2 + K_p s + K_I K_p}$$

Bode Diagram





3.3.2 扰动响应与误差分析

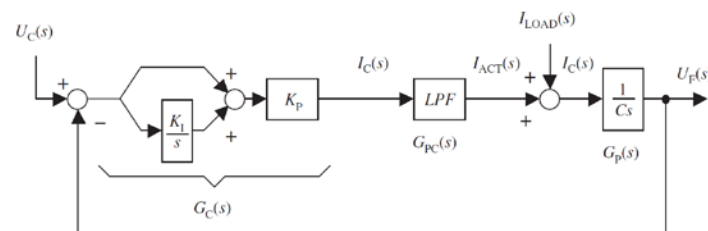
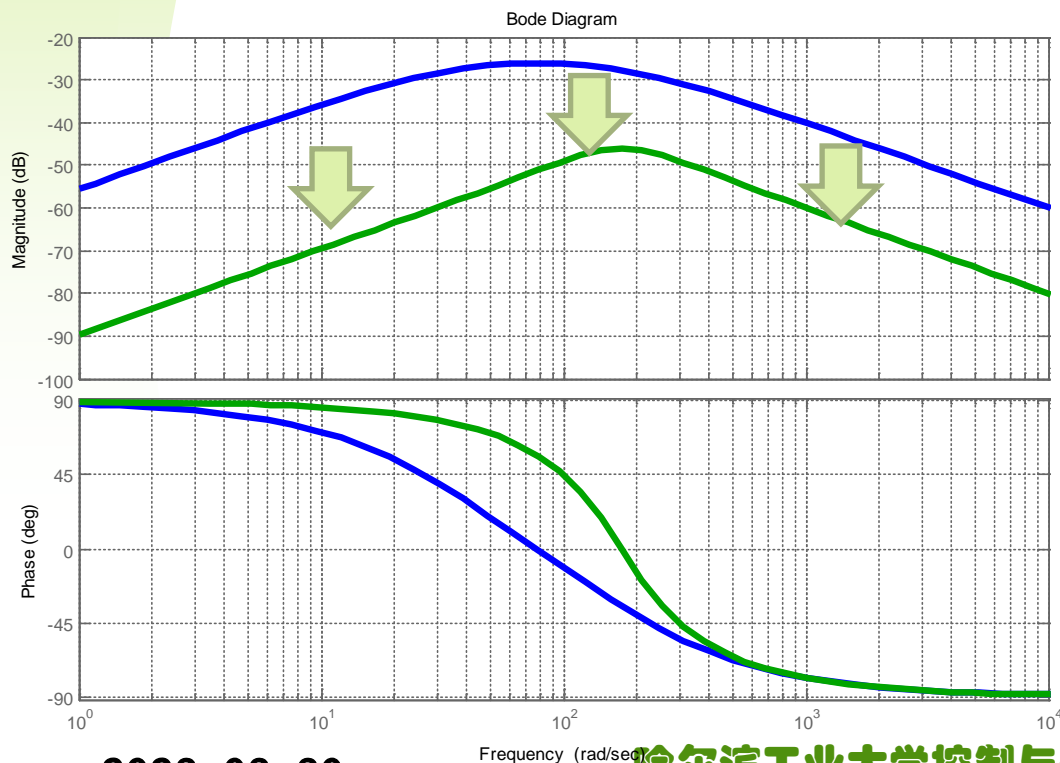
频域

扰动响应定义 | 扰动误差分析 | 例子 | 总结

◆ 例3：电源的扰动响应及抑制方法

- 全频段——增大分母多项式系数

$$T(s) = \frac{U_F(s)}{I_{LOAD}(s)} = \frac{s}{Cs^2 + K_p s + K_I K_p}$$



对于扰动可以先写出传递函数；对于传递函数可以分频段进行分析。这是频域优于时域的地方。



扰动响应定义 | 扰动误差分析 | 例子 | 总结

对于恒压源的扰动抑制，你觉得应该压低高频、中频、低频还是整个频段，为什么？

正常使用主观题需2.0以上版本雨课堂

作答

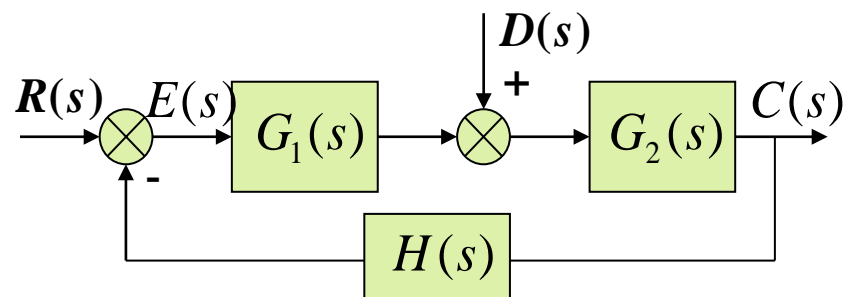


3.3.2 扰动响应与误差分析

扰动响应定义 | 扰动误差分析 | 例子 | **总结****

- ❑ 为了减小扰动误差，可以增加偏差点到扰动作用点之间积分环节个数或放大系数；
- ❑ 放大系数不能任意放大，积分环节也不能太多（最多2个），否则系统将会不稳定；
- ❑ 可以采用比例加积分，滞后环节减小扰动产生的误差

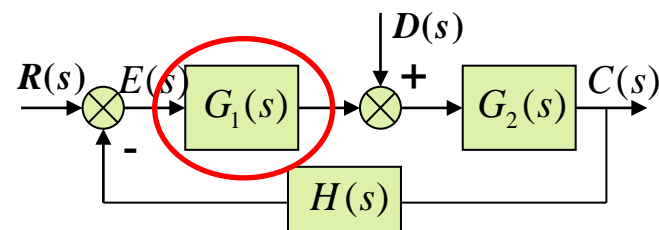
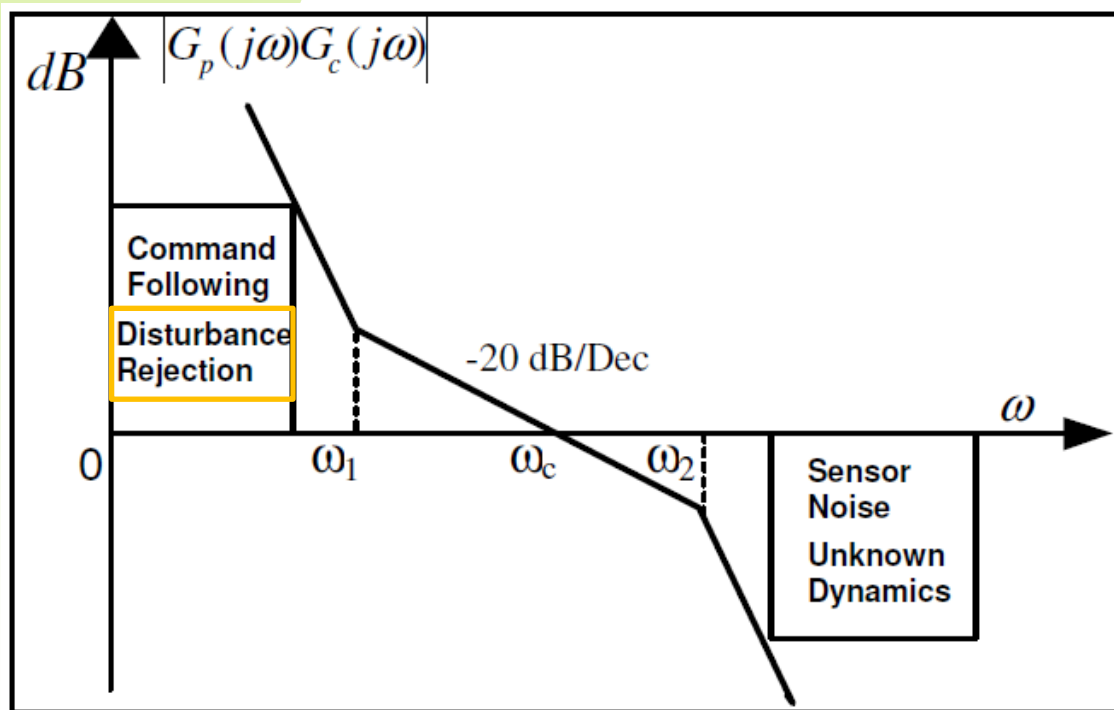
扰动引起的动态误差分析可以参考指令跟踪误差的分析方法





3.3.2 扰动响应与误差分析

扰动响应定义 | 扰动误差分析 | 例子 | **总结****

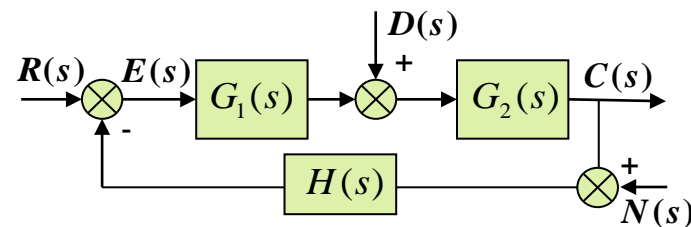
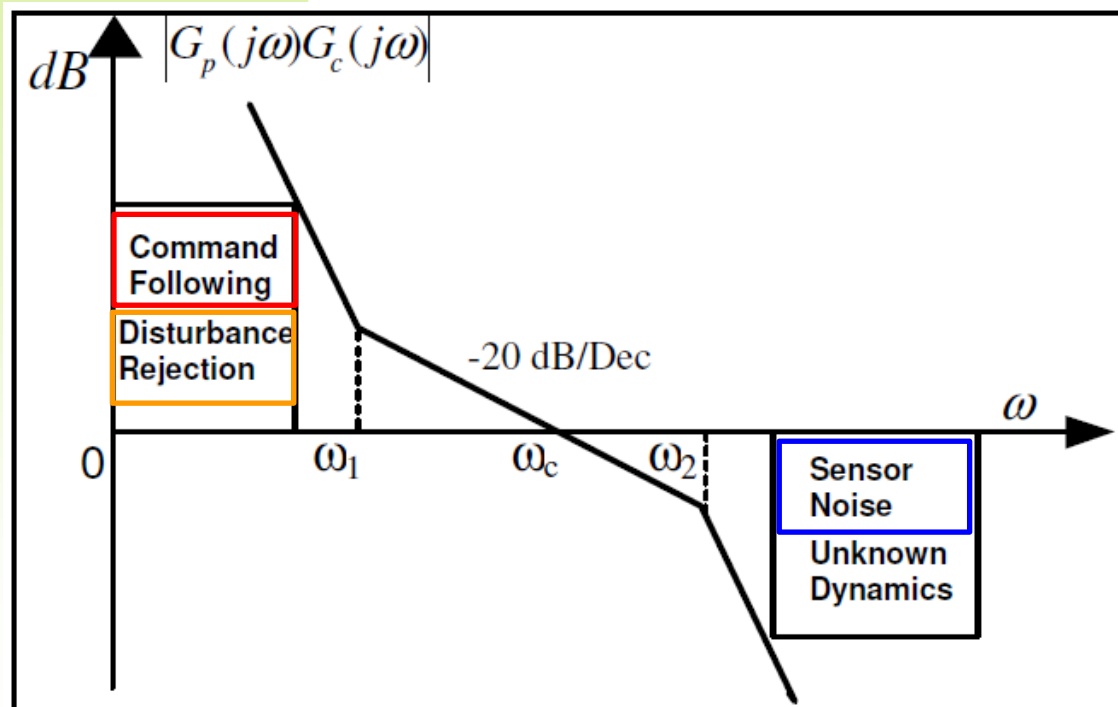


➤ **扰动抑制**对干扰作用点之前的系统特性（积分有无和增益大小）提出了要求，可以由控制器改变；



课程的主要结论***（思想原则）

指令跟踪、噪声及扰动抑制对系统提出的约束

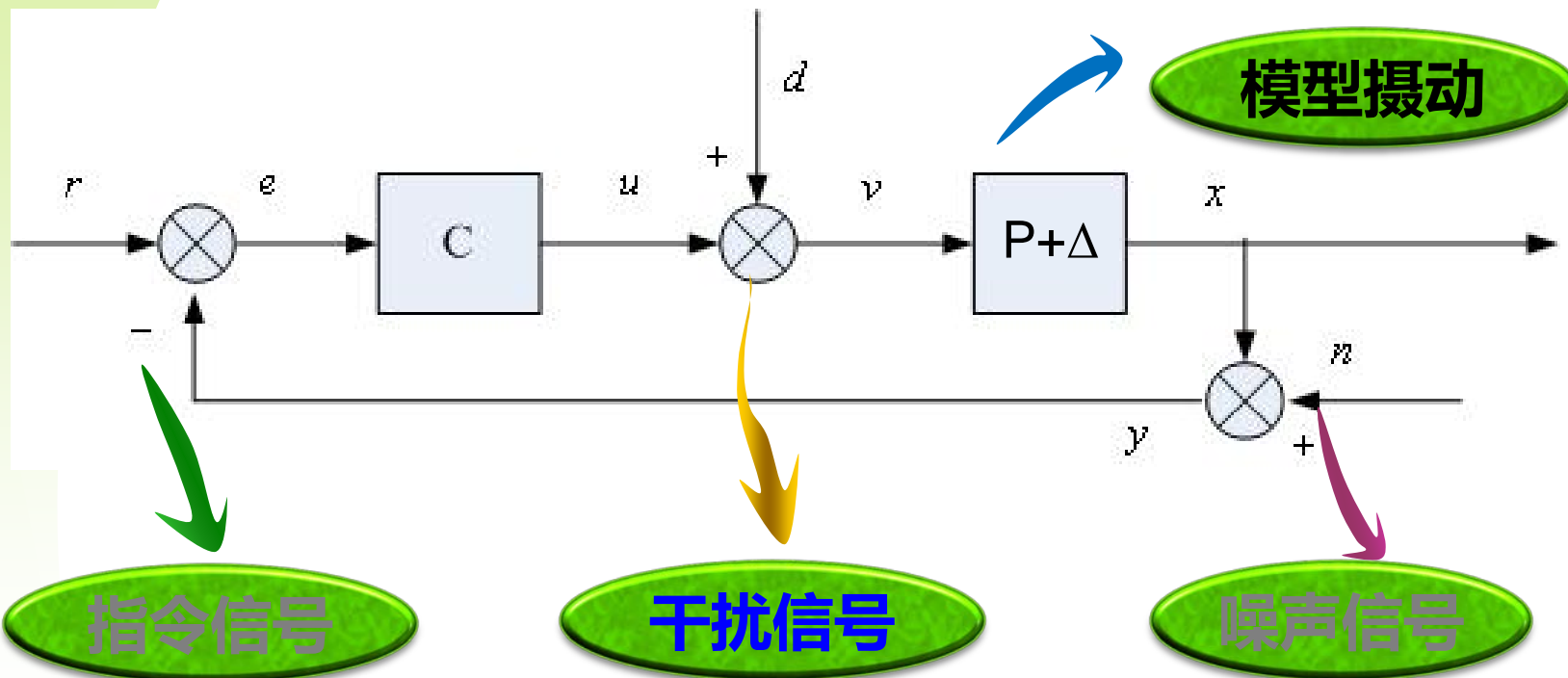


- **指令跟踪**对系统低频的斜率和增益提出了要求；
- **扰动抑制**对干扰作用点之前的特性提出了要求；
- **噪声抑制**对系统的带宽和高频增益提出了要求；



3.3.3 其他扰动抑制方法

串联校正之外的扰动抑制方法



$$G_{xr} = \frac{PC}{1+PC}$$

$$G_{xd} = \frac{P}{1+PC}$$

$$G_{xn} = \frac{-PC}{1+PC}$$



3.3 扰动分析

3.3.1 扰动分析

3.3.2 扰动响应与误差分析

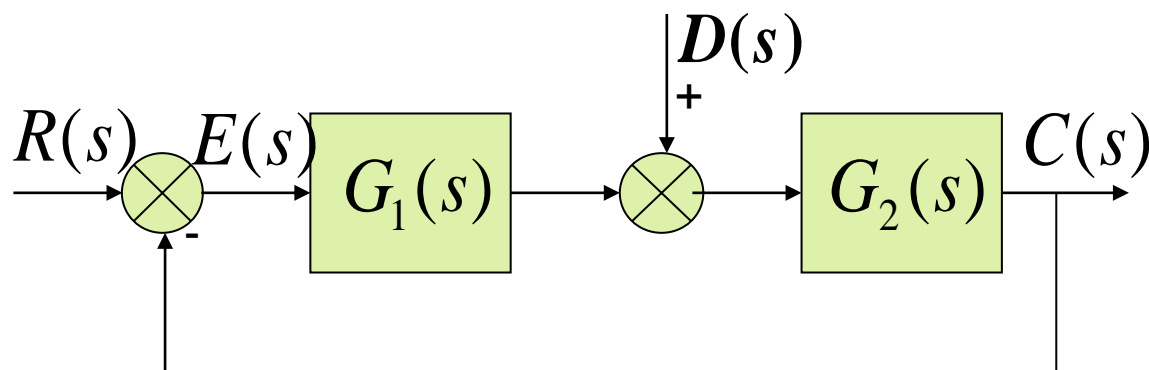
3.3.3 其他扰动抑制方法

3.3.4 扰动观测与补偿

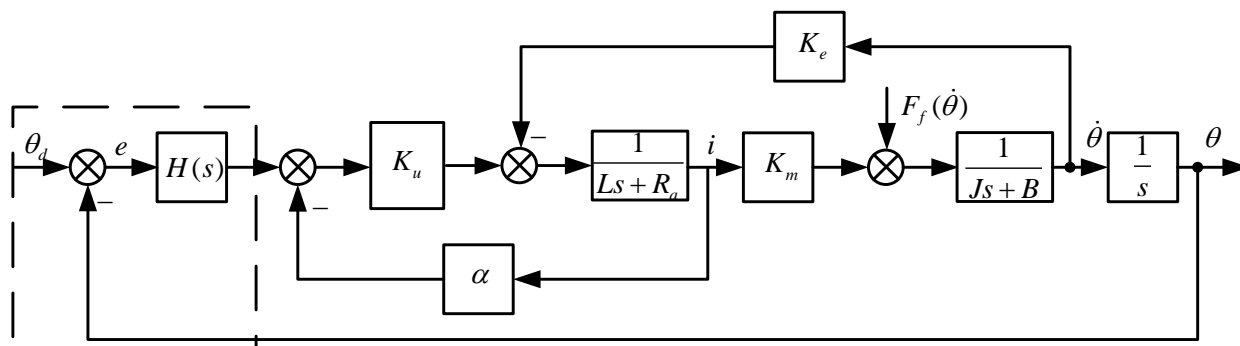


3.3.3 其他扰动抑制方法

扰动测量与补偿 | 扰动估算与补偿 | 多回路控制



如果扰动是可以测量的，如何处理？



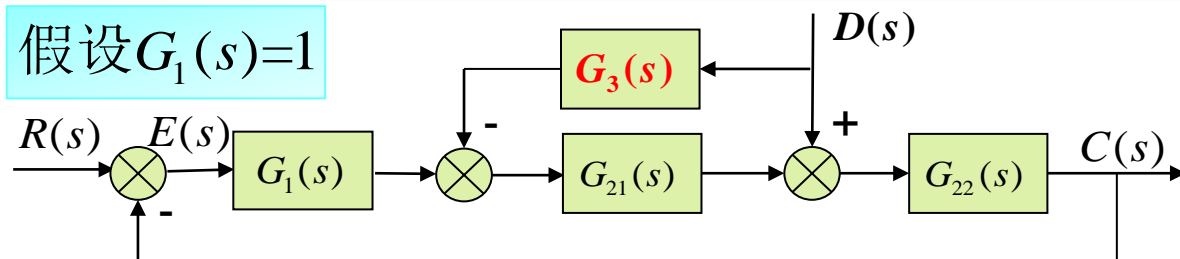


3.3.3 特殊扰动的抑制

扰动测量与补偿 | 扰动估算与补偿 | 多回路控制

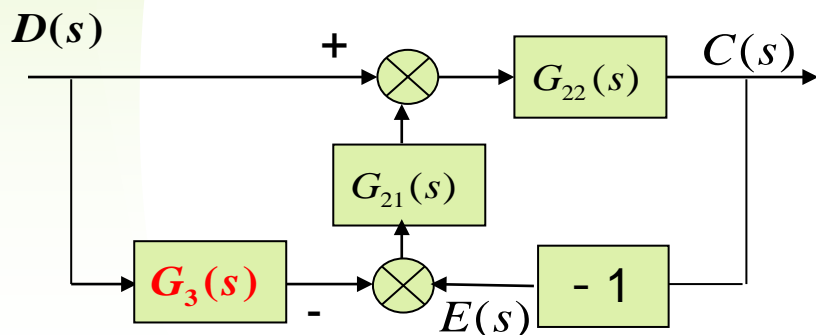
令 $R(s)=0$ ，由于是单位反馈系统，所以误差 $E(s)=-C(s)$ 。

假设 $G_1(s)=1$



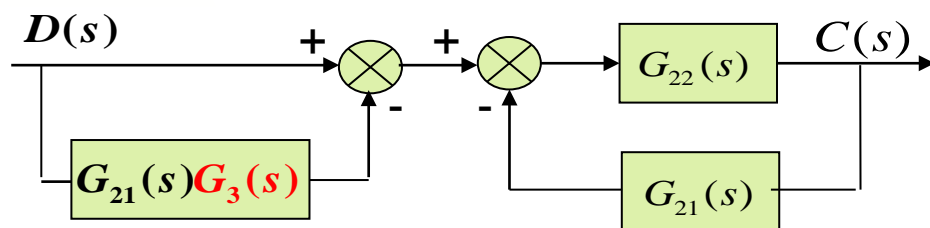
$$\text{未加前馈时, } \Phi_D(s) = \frac{C(s)}{D(s)} = \frac{G_{22}}{1 + G_{21}G_{22}}$$

$$E(s) = -C(s) = -\frac{G_{22}}{1 + G_{21}G_{22}} \cdot D(s)$$



$$C(s) = \frac{[1 - G_{21}(s)G_3(s)]G_{22}(s)}{1 + G_{21}(s)G_{22}(s)} \cdot D(s)$$

$$E(s) = -C(s)$$



$$= -\frac{[1 - G_{21}(s)G_3(s)]G_{22}(s)}{1 + G_{21}(s)G_{22}(s)} \cdot D(s)$$

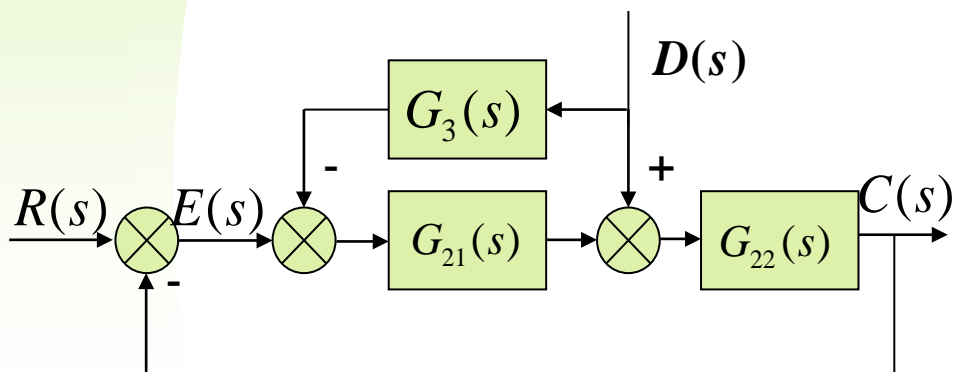


3.3.3 其他扰动抑制方法

扰动测量与补偿 | 扰动估算与补偿 | 多回路控制

$$E(s) = -C(s) = -\frac{[1 - G_{21}(s)G_3(s)]G_{22}(s)}{1 + G_{21}(s)G_{22}(s)} \cdot D(s)$$

若 $G_3(s) = \frac{1}{G_{21}(s)}$ 则 $E(s) = 0$ 这个条件就是对扰动作用实现完全不变性的条件。即系统的输出完全不受扰动的影响。



从结构图可看出，实际上是利用**双通道原理**使扰动信号经两条通道到达相加点时正好大小相等，方向相反。从而实现了干扰的全补偿。

但在实际的系统中，对于 $G_3(s) = \frac{1}{G_{21}(s)}$ 也要考虑**物理可实现**问题。

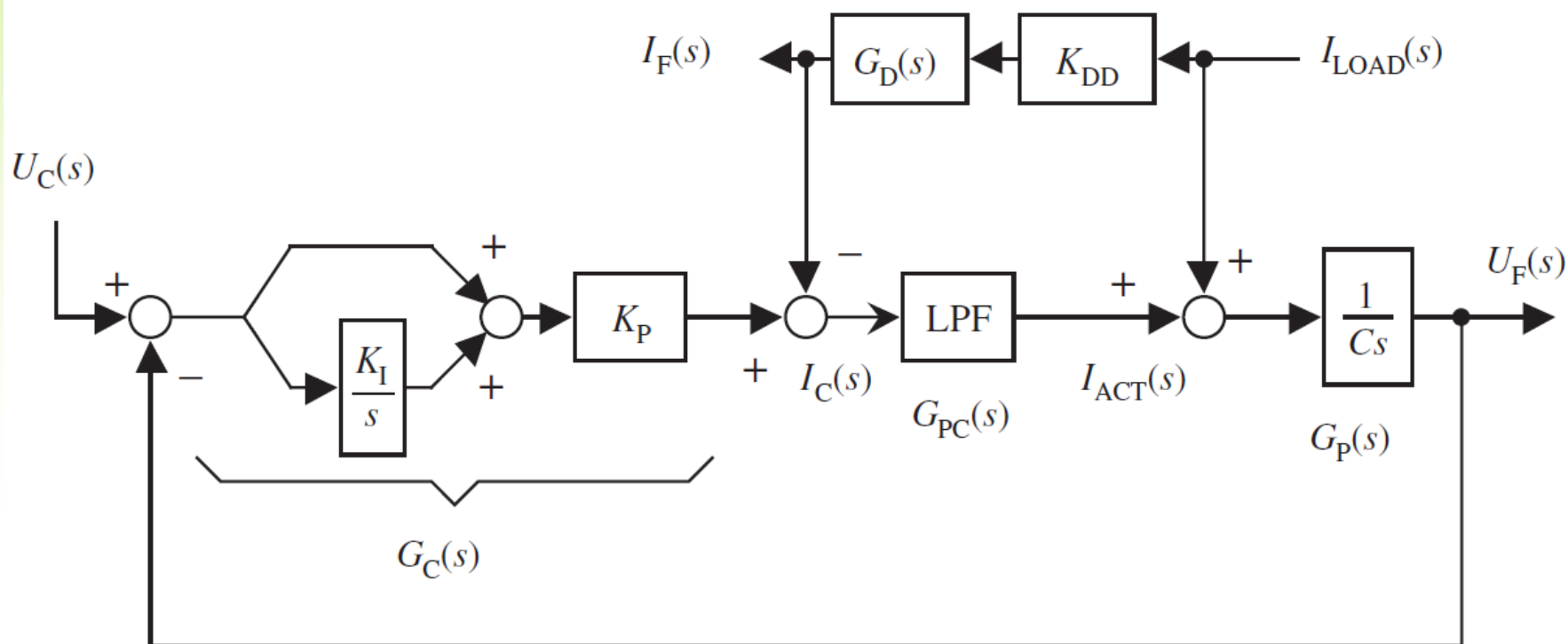
如果物理不可实现，也可以采取近似的补偿，以减小扰动引起的稳态误差。



3.3.3 其他扰动抑制方法

扰动测量与补偿 | 扰动估算与补偿 | 多回路控制

◆ 例5：电源的扰动响应及扰动补偿（顺馈补偿）

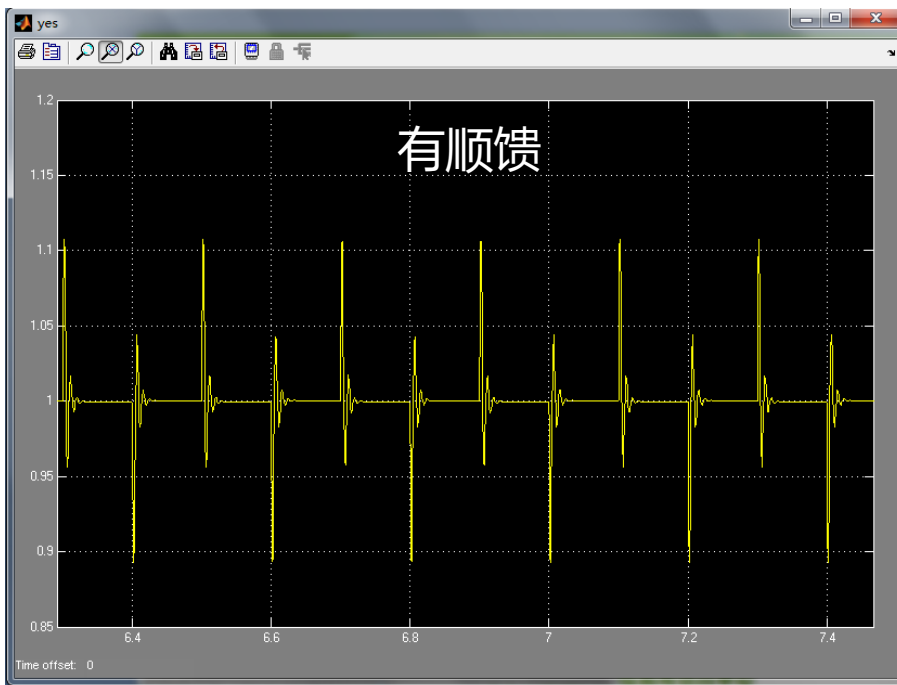
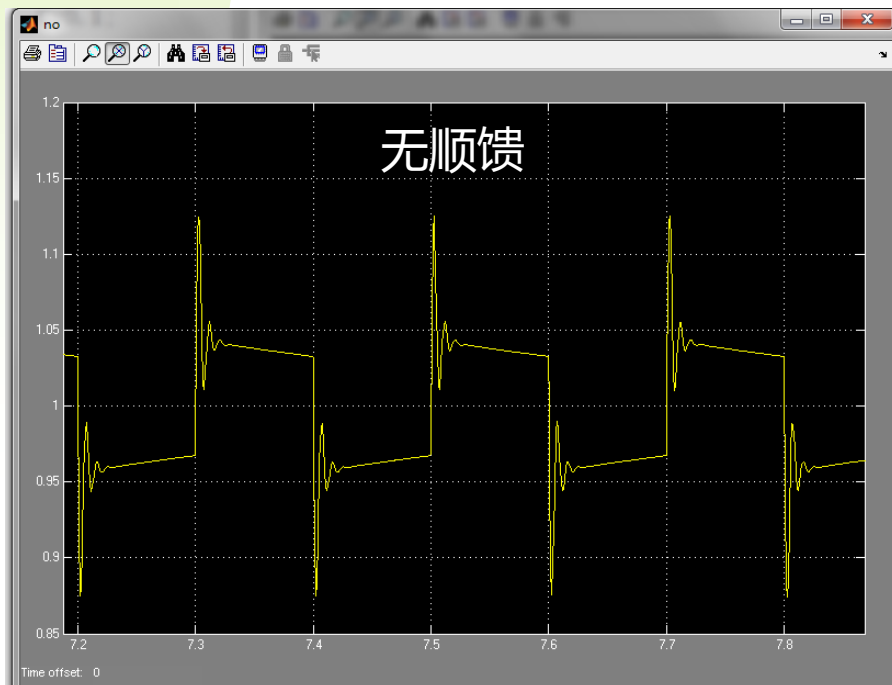
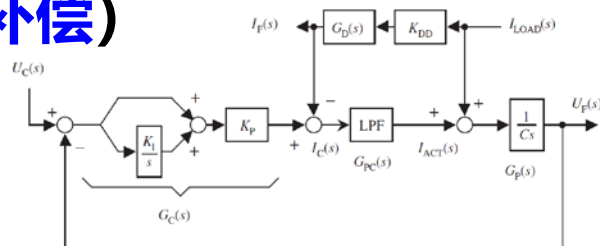




3.3.3 其他扰动抑制方法

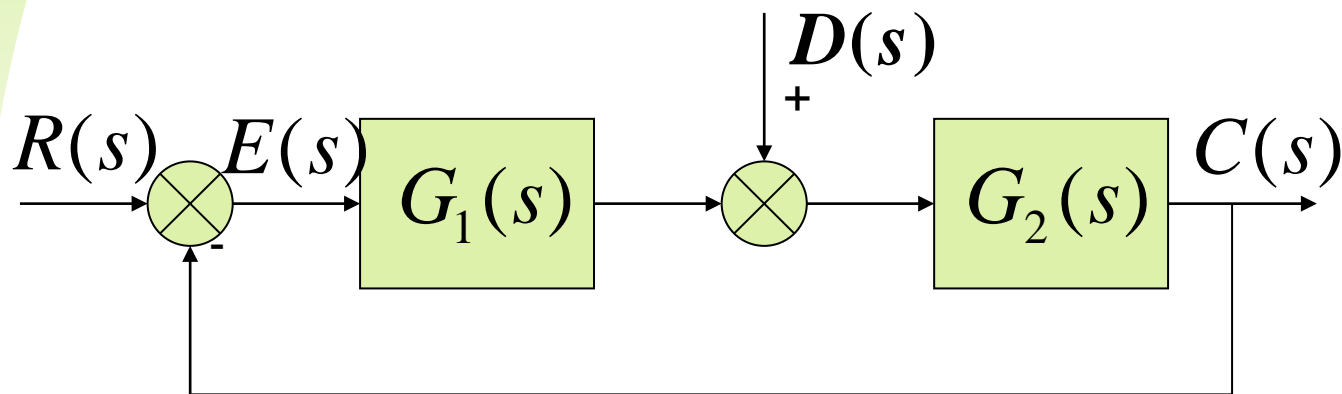
扰动测量与补偿 | 扰动估算与补偿 | 多回路控制

◆ 例5：电源的扰动响应及扰动补偿（顺馈补偿）





3.3.3 其他扰动抑制方法



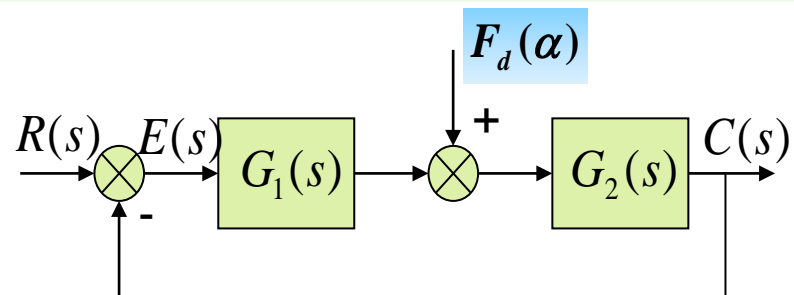
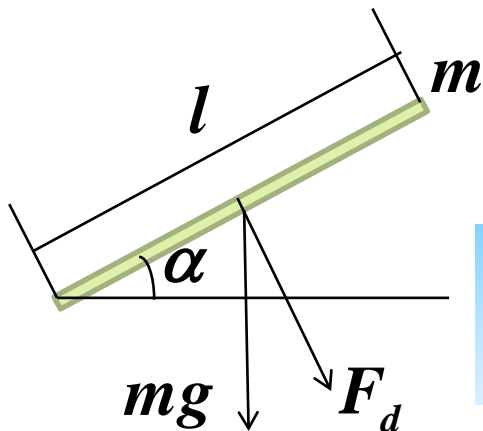
如果扰动与系统的状态有确定的函数关系，如何处理？



3.3.3 其他扰动抑制方法

扰动测量与补偿 | **扰动估算与补偿** | 多回路控制

偏载力矩扰动与机械臂关节角度相关



$$F_d = f(\alpha) = \frac{1}{2}mgl \cos \alpha$$

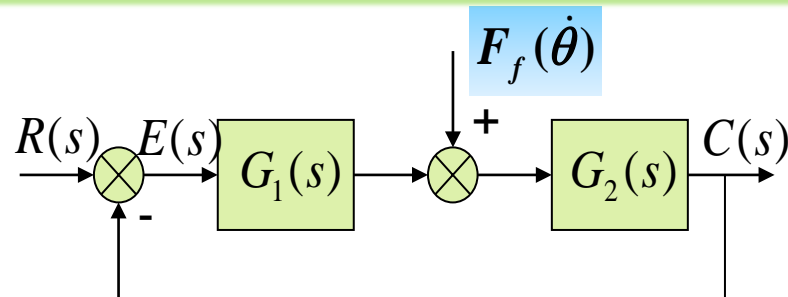
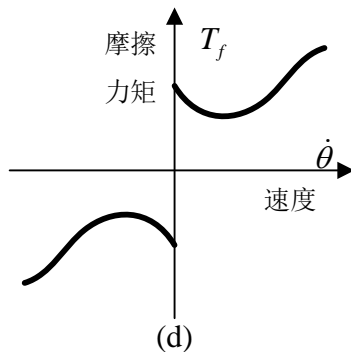
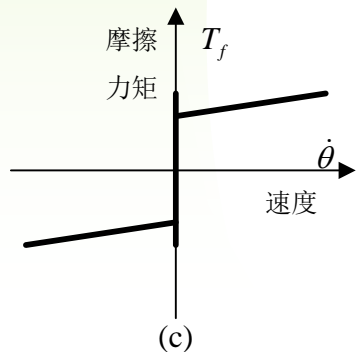
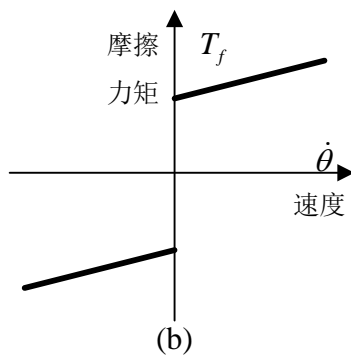
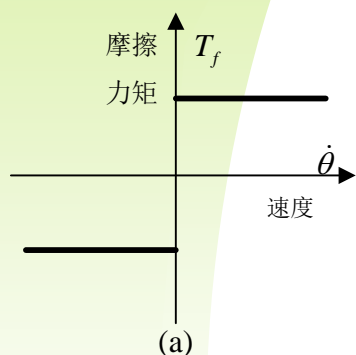
先推导出扰动与系统状态的函数关系，然后直接在控制量中进行补偿，抵消扰动的作用。



3.3.3 其他扰动抑制方法

扰动测量与补偿 | **扰动估算与补偿** | 多回路控制

摩擦扰动与机械臂的角速度相关



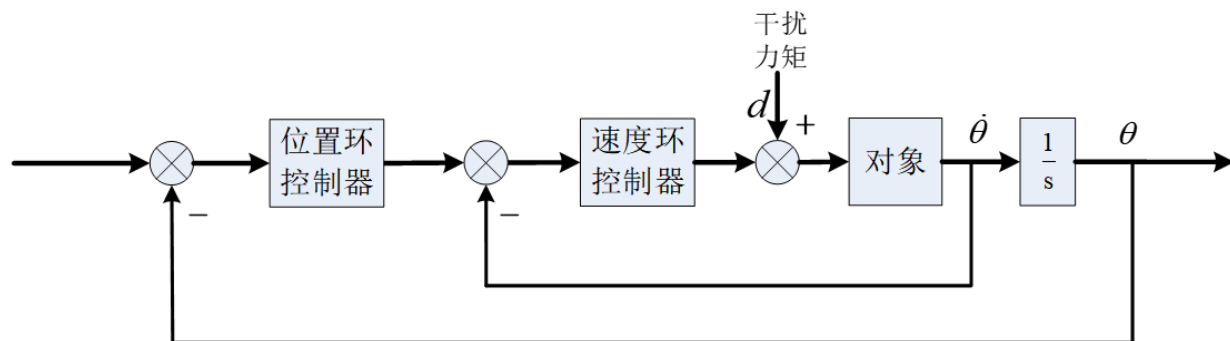
在进行扰动补偿前，必须
辨识出模型中的参数

$$F_f(\dot{\theta}) = F_c \operatorname{sgn}(\dot{\theta}) + (F_m - F_c) e^{-\alpha|\dot{\theta}|} \operatorname{sgn}(\dot{\theta}) + \sigma_2 \dot{\theta}$$



3.3.3 其他扰动抑制方法

扰动测量与补偿 | 扰动估算与补偿 | **多回路控制**



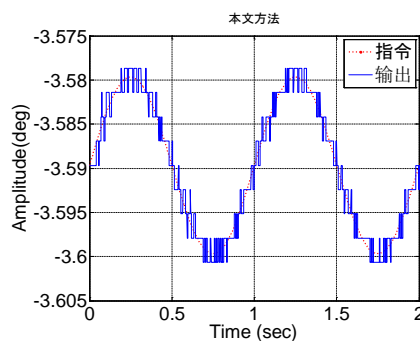
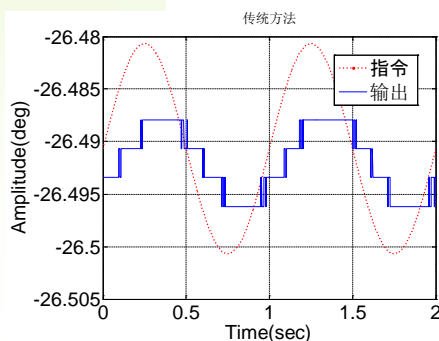
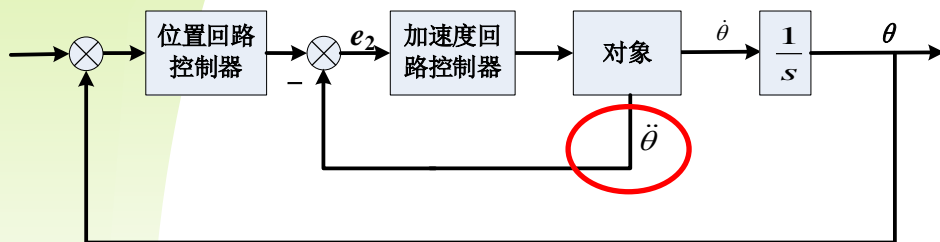
电机位置伺服系统中，**位置+速度双回路控制**，能够抑制摩擦力矩、电机波动力矩、负载力矩等外部扰动，提高控制精度，同时能在一定程度上提升系统的鲁棒性。



3.3.3 其他扰动抑制方法

扰动测量与补偿 | 扰动估算与补偿 | 多回路控制

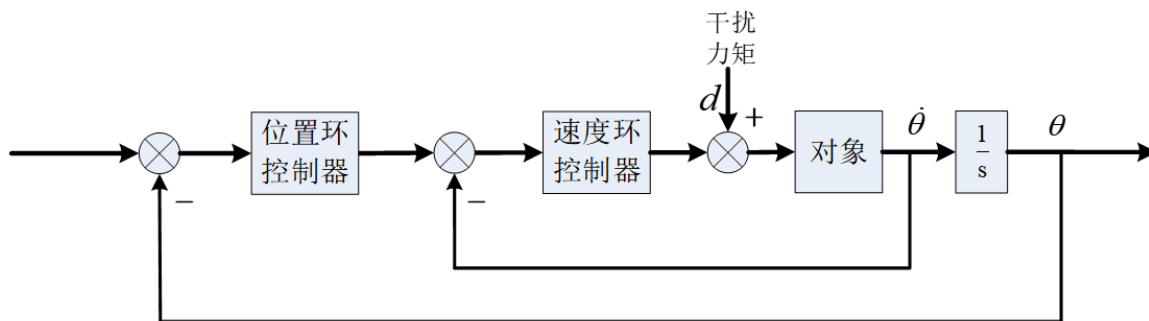
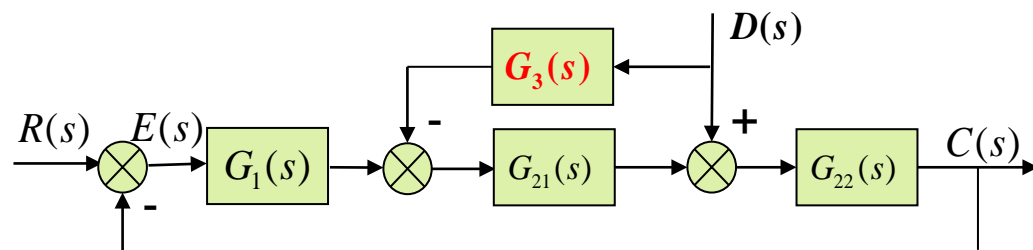
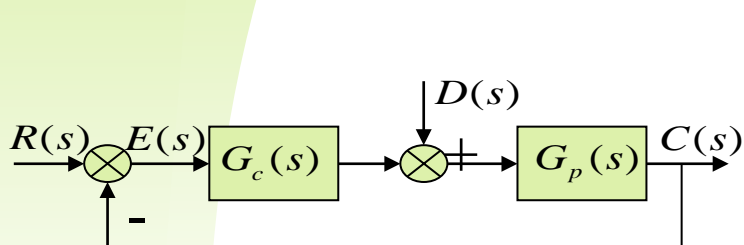
国内第一套角加速度转台



系统要求对小信号的跟踪能力强，必须能够有效克服摩擦死区的影响，采用角加速度、位置双回路的控制方法有效解决了这一问题。



请总结上述扰动抑制方法的应用条件和副作用？



正常使用主观题需2.0以上版本雨课堂

作答



上述扰动抑制方法的本质是什么？

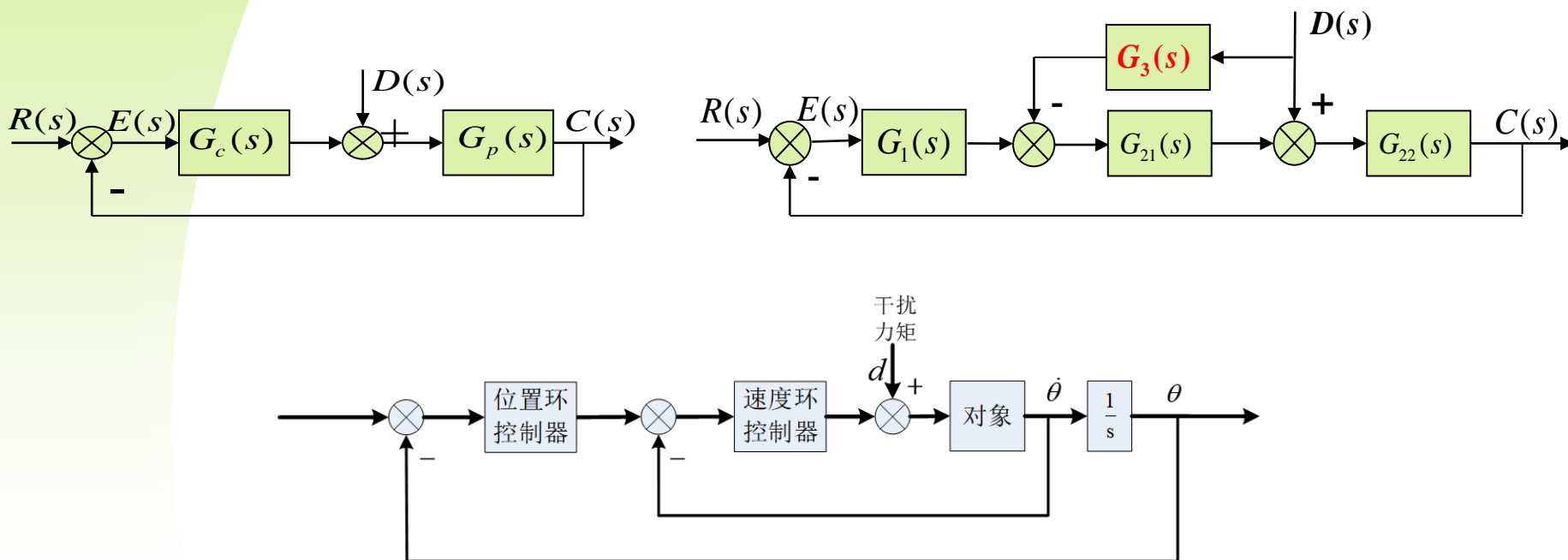
正常使用主观题需2.0以上版本雨课堂

作答



3.3.3 扰动响应与误差分析

其他扰动抑制方法



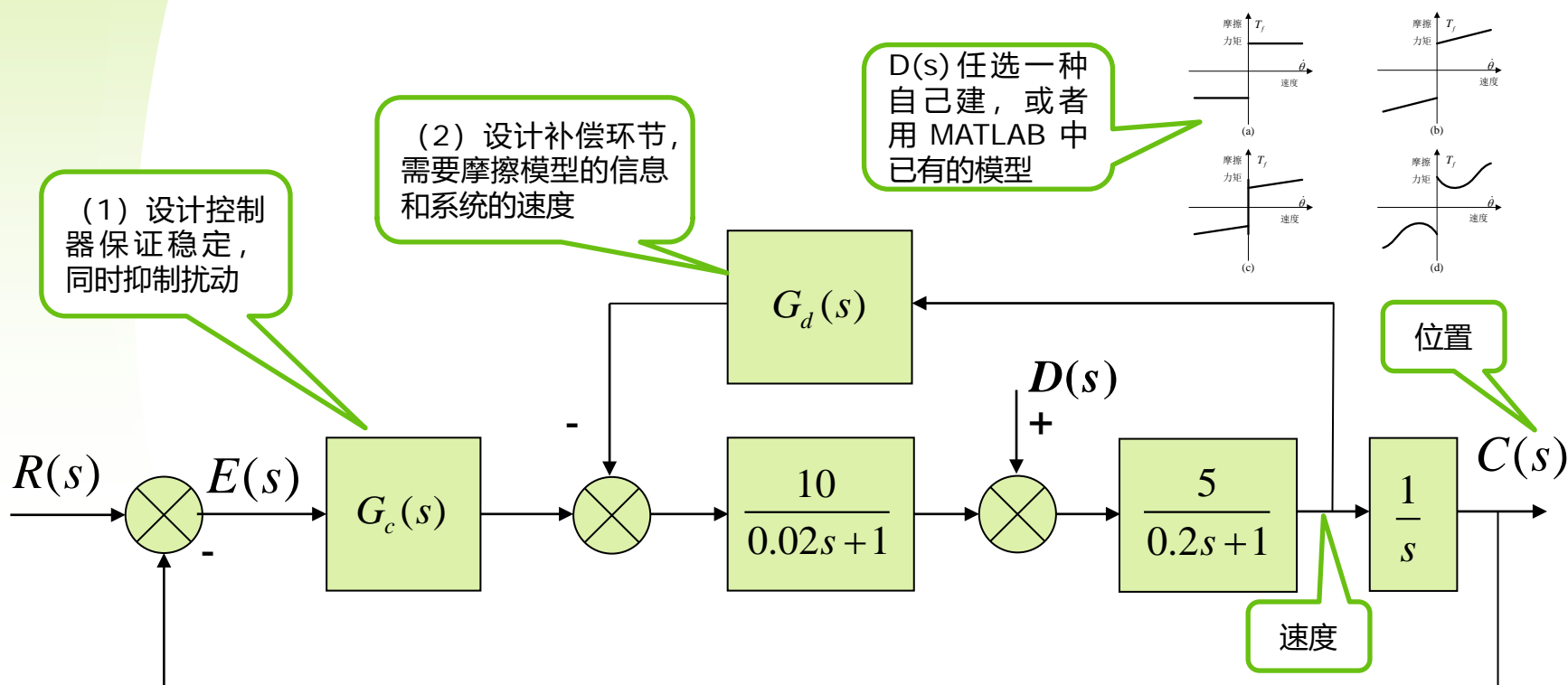
除了上述方法，还有没有其他的扰动抑制方法，能够克服或部分克服上述缺点？



第12次课作业

必选作业

12.1 仿真题：建立摩擦模型加入下面的系统中，(1) 设计控制器使系统稳定，采用正弦指令（参考频率幅值均为1），观察有无摩擦扰动时系统的输出变化，也可以使用方波扰动 (2) 利用已经学到的各种扰动抑制方法，验证扰动抑制效果，加深对各种对各种方法的理解；





第12次课作业

可选作业

- 12.1 总结本节课所讲的各种扰动抑制方法的适用条件，以及利与弊；
- 12.2 总结目前所学到的，减小误差、抑制噪声、克服扰动的各种方法的应用条件；
- 12.3 对比理解拓展篇给出的各种概念，用这些概念将课程的内容关联起来，加深记忆和理解；



Thank You !